

# I-91 構造物の立體振動解析について

(株) 長大橋設計センター 正員 柴田 定昭  
 " " 草原 義博  
 " " ○友沢 武昭

## 1. まえがき

近年、マトリクス法による、立體構造物の振動解析が、盛んに行なわれている。節点数が増加する場合、剛性マトリクスの大きさは、増大し、電子計算機の容量、あるいは、演算時の精度、時間等の問題解決方法は、重要な事項であると考えられる。これらの問題に対し、ハンドマトリクスを用いるとか、あるいは、構造分割による解法法を述べた、文献が多く見られる。筆者等は、変形法を用いて、300節点近く、立體骨組構造の振動解析を試みたため、剛性マトリクスを縮少問題に取り組んだ。以下この方法を紹介するとともに、地盤応答計算<sup>2)</sup>、平均速度応答スペクトル SV を用いた場合に、構造物の任意部材における、最大応答を示すような地盤動方向、および部材の最大応答値（節点端荷重、あるいは、節点変位）を、簡単に、しかも、比較的妥当な値として、見山出す方法を提案する。

## 2. 剛性マトリクスの縮少

本解法は、立體骨組構造振動系の剛性マトリクスを、変形法の手法により、求めやすく。

部材 M について、荷重力  $\bar{f}$  と、変位  $y$  の関係式、一般座標系に変換したもの。

$$\bar{f}^* = \bar{\Delta}^* T y = \bar{\Delta}^* y, \quad \bar{f} = T^T \bar{\Delta}^* T y = \bar{K} y \quad \text{となる。} \quad (1)$$

ここで、 $\bar{m}$ 印は、部材  $m$  に対するものと示し、 $\star$ 印は、部材座標系での量を示す

$T$  は、座標変換マトリクス、 $\bar{\Delta}$  は荷重マトリクス、 $\bar{K}$  は剛性マトリクス である。

(1)式を用いて、一般座標系<sup>2)</sup>の釣合式  $\bar{P} = \bar{K} y$  が得られる——(2)

i) 外力条件によるマトリクスの縮少 立體構造における場合は、1節点あたり、6成分の外力作用を受ける。振動問題における場合は、これらの外力項は、地動による、慣性抵抗力であるが、工学的に見て場合、全節点に6成分の外力がすべて、作用するに、考へる必要はない。  
 いは、(2)式における、外力項  $\bar{P}$  のなかに 0 のものがあれば、(2)式は、次のようにならう。

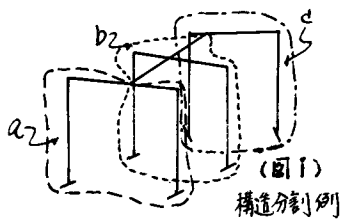
$$\begin{Bmatrix} \bar{P}_1 \\ 0 \end{Bmatrix} = \begin{bmatrix} K_{11} & K_{12} \\ K_{21} & K_{22} \end{bmatrix} \begin{Bmatrix} y_1 \\ y_2 \end{Bmatrix} \quad P_1: 0 \text{ でない外力成分} \quad (3)$$

$$(3) \text{式より, } y_2 = -K_{22}^{-1} K_{21} y_1 \quad \text{すなはち,} \quad \begin{Bmatrix} \bar{P}_1 \\ 0 \end{Bmatrix} = [K_{11} - K_{12} K_{22}^{-1} K_{21}] y_1 = \hat{K} y_1 \quad \text{と縮少される。} \quad (4)$$

(4)式のすなはち、構造が、やや複雑になると、(3) → (4)の過程で、 $K_{22}^{-1}$  を求める場合がなり大きくなる。逆行列をとる操作が必要となる。そこで、つまびらかに示すようす。構造分割

の考え方を用いる。

ii) 構造分割。構造全体を、図に示すように、比較的少數の節点より成る、構造部分に分割し、1つの構造部分内の節点の自由度を、つぎのように分類する。



- 他の構造部分と関連をもつか、あるいは、その節点に外荷重が作用する方向の自由度に関する  $\{P\}, \{y_1\}$
- 他の構造部分と関連つかないも、荷重か、作用しない方向の自由度に関する  $\{P\}=\{0\}, \{y_2\}$

各、構造部分  $a, b, c \dots \rightarrow K_{part}$ ,  $\{P, 0\}$ ,  $\{y_1, y_2\}$  を分離して、(2) 式を表わせよ。 (5) 式とする。

$$\begin{cases} Pa \\ 0 \\ Pb \\ 0 \\ Pc \\ 0 \end{cases} = \begin{array}{l|llll|ll} a & \left[ \begin{array}{llll} K_{11}^a & K_{12}^a & K_{ab} & 0 & K_{ac} & 0 & \dots \\ K_{21}^a & K_{22}^a & 0 & 0 & 0 & 0 & \dots \end{array} \right] & \begin{array}{l} y_{a1} \\ y_{a2} \\ y_{b1} \\ y_{b2} \\ y_{c1} \\ y_{c2} \end{array} \\ b & \left[ \begin{array}{llll} K_{ba} & 0 & K_{11}^b & K_{12}^b & K_{bc} & 0 & \dots \\ 0 & 0 & K_{21}^b & K_{22}^b & 0 & 0 & \dots \end{array} \right] \\ c & \left[ \begin{array}{llll} K_{ca} & 0 & K_{cb} & 0 & K_{11}^c & K_{12}^c & \dots \\ 0 & 0 & 0 & 0 & K_{21}^c & K_{22}^c & \dots \end{array} \right] \end{array} \quad \begin{array}{l} K^a \text{ は構造部分 } a=3 \text{ の } 3 \times 3 \text{ の } \\ K_{ab} \text{ は } a, b \text{ の接続部} \\ \text{ 分離可。} \end{array} \quad (5)$$

(5)式の対角線上の小マトリクスについて、それぞれ。

$$\begin{bmatrix} K_{11}^a & K_{12}^a \\ K_{21}^a & K_{22}^a \end{bmatrix} \begin{bmatrix} y_{a1} \\ y_{a2} \end{bmatrix} = \begin{bmatrix} \Delta Pa \\ 0 \end{bmatrix} \quad \text{なぜか成立し、(4)式の操作と同様にマトリクスは簡便} \\ \text{されし。}$$

$$\Delta Pa = K_{aa} y_{a1} \quad \text{但し, } K_{aa} = [K_{11}^a - K_{12}^a K_{22}^{-1} K_{21}^a] \quad \text{なぜか成立し、} \Rightarrow \text{簡単。}$$

(5)式は、つぎのように簡化される。

$$\begin{cases} Pa \\ Pb \\ Pc \end{cases} = \begin{bmatrix} K_{aa} & K_{ab} & K_{ac} \\ K_{ba} & K_{bb} & K_{bc} \\ K_{ca} & K_{cb} & K_{cc} \end{bmatrix} \begin{bmatrix} y_{a1} \\ y_{b1} \\ y_{c1} \end{bmatrix} = \text{簡単化} \quad \hat{P} = \hat{K} \cdot \hat{Y} \quad (6)$$

(6)式は、最終的に  $K$  を離す形である。  $= Z$ 、節点荷重  $P$ 、(6)式中で消去された  $y$  の位置、ある時は、支点反力を含める場合、これらから、関係をもつて着目し  $Z$ 。(6)式の  $\hat{Y}$  を用いて、表せば。

$$\hat{f} = \hat{S} \hat{Y}, \quad y_2 = \hat{A} \hat{Y}, \quad R = \hat{R} \hat{Y}$$

(右力) (運動方程式) (支点反力)

これらは、(6)式の解として得られる  $\hat{Y}$  を用いて、直接求めることができる。

$\hat{S}$  は、(1)の第1式と、(4)の第1式の関係、 $\hat{A}$  は (4)の第1式の関係

$\hat{R}$  は、支点反力を含む (1)の第2式と、(4)の第1式の関係からそれ得られる。

### 3. 地震応答。

i) 振動方程式。節点に応答  $U$ 、並進方向の質量  $M$ 、回転質量  $I$  を表わし、質量マトリクス  $M$  が  $M_x, M_y, M_z$  を定義する。

(74).  $M_L = \begin{bmatrix} M_x & M_y & M_z & 0 \\ 0 & I_x & I_y & I_z \end{bmatrix}$ ,  $M_{X_L} = \begin{Bmatrix} M_{x_L} \\ 0 \end{Bmatrix}$  等. これを、各節点  $K$  について配列したものを、 $M$ ,  $M_x$ ,  $M_y$ ,  $M_z$  とし、地動を  $X_0$ ,  $Y_0$ ,  $Z_0$  とすれば、振動方程式は、縮約され、(6)式の形となる。つまり  $\hat{M}\ddot{\gamma} + \hat{K}\ddot{\gamma} = -(M_x X_0 + M_y Y_0 + M_z Z_0)$  ————— (9)

(9)式の強制項を0とし、 $\ddot{\gamma} = \phi \sin \omega t$  とする。固有値  $\omega$  のことにより、固有振動数  $\omega_n$  と、振動モード  $\psi_n$  が、自由度の数だけ得られる。これらを、 $u_i$ ,  $v_i$ ,  $w_i$  とする。各振動モードが  $\psi_i$  で表わされる。これらに応じて、(7)式より、各質量に対するモードも次のようく定義される。

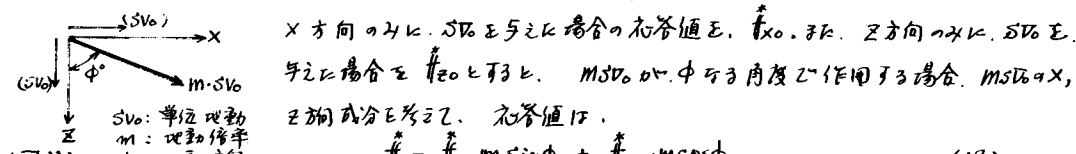
$$\psi_i = \hat{S} \psi_i \quad , \quad \psi_{yz} = \hat{A} \psi_i \quad , \quad \psi_r = \hat{R} \psi_i \quad ————— (10)$$

ii) 地震動に対する応答。  
(9)式の解は、 $\ddot{\gamma} = \psi_i \omega$  とおくと、振動方程式は、各節毎の振動に分離され、(モダルアリニア) が成り立つ。応答値は、各モード、各モード、各モードに応じて、

$$\ddot{\gamma} = \psi_i \omega, \quad \ddot{f} = \psi_i \omega, \quad \ddot{y}_z = \psi_{yz} \omega, \quad \ddot{r} = \psi_r \omega \quad ————— (11)$$

ここで、SVD 法を用いて、応答を、求めた場合は、工学的に必要なら、最大値と、得られた値よりも大きいから。最大応答を生じる方向を地動方向に向かって、つぎのように取扱いをした。

図のように、X, Y 面内の任意方向地動 ( $m \cdot SVD$ ) が、作用する場合の、任意部材応力最大値  $f_{max}$  (11)式の  $y_z$ ,  $y_r$ ,  $r$  に対する関係) が、どの時の地動の方向 ( $\phi$ ) によって、



最大応答を生じる  $\phi$  は、 $\frac{df}{d\phi} = m(-\ddot{f}_{x0} \cos \phi + \ddot{f}_{z0} \sin \phi) = 0 \quad \therefore \tan \phi = \ddot{f}_{x0} / \ddot{f}_{z0} \quad ————— (13)$   
など。 $f_{max} = m(\ddot{f}_{x0}^2 + \ddot{f}_{z0}^2)^{1/2}$  である。

#### 4. 計算例

計算例に用いたモデル

各部材寸法  
 $A=0.2 \text{m}^2, I_y=0.1 \text{m}^4$   
 $J=0.2 \text{m}^4, I_z=0.1 \text{m}^4$

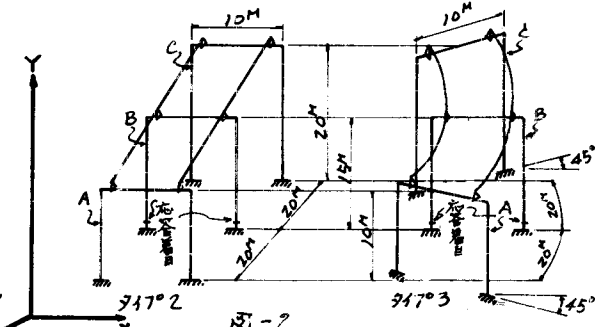
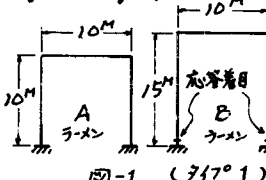


图-1 に示すような、3基の門型ラーメンを考える。これらの特徴は、平面的な構造であるため、各ラーメンについて、面内方向、面外方向の2種類の平面問題に分割して、解釈することができる。一方これら3基の天端を、图-2のように、互いに連結した場合、3基は、一体となって、立体構造物としての性状を有する。ここで、Bラーメンに着目し、T17°1, 2, 3 中で、Bラーメンが、それと、どのうな、性状を示すかについて観る。

各部材の断面性能は、 $A=0.2m^2$ ,  $I_y=0.1m^4$ ,  $I_z=0.1m^4$ ,  $J=0.2m^2$  として、壁材は A, B, C の 2 種間にわたり、連続ケーブルで固定し、各ラーメンの結合条件は、橋軸直角軸まわりのヒンジ式、結合されていようとす。また簡単のために、これらの壁材は剛体と仮定した。質量は、各ラーメンと、壁材との交点に、それを  $100t$  の X 方向重量、Z 方向重量のみをもつて、上下方向、および回転方向の慣性力は、0 とした。左記二種類のモデルは、一方、連続桁形式を想定していこうと、目的は、平面構造と組合せた立体構造を組み立ての場合、元の平面構造の性質がいかに変化するかを観察してみる。構造のデータ等は、実際の構造物をモデル化しておいた。地震応答計算のためのデータとして、減衰定数をすべて  $317^\circ$  0.02 とし、地震は、水平荷重スペトル SV を、最大  $100gal$  とする。X 方向、Z 方向にそれぞれ独立に作用する。応答計算は、モードアナリシスによって、以下に、計算結果を示す。

(応答は、B ラーメンの左右脚下端のみに着目する) 表-1, 2 は、B ラーメンの面内、面外方向曲げモードを表す  $\theta_x$ ,  $\theta_z$ ,  $\theta_{xz}$  および中立角  $\phi$  である。(II) 式中の  $f_{xz}$ ,  $f_{xz}$  が  $100gal$  の SV が作用したときを示している。

図-3 は、(II) 式中の  $\theta_x$ ,  $\theta_z$ ,  $\theta_{xz}$  (2 次元) の値を、B ラーメン左右脚についてグラフ化したものである。タイヤ1 は完全な平面構造であり、かつ質量に釣り合った分布抵抗が存在するので、質量分布は、各方向運動の固有周期が約

2 秒程度である。これらの値は、立体効果が増すほど、弦の範囲に分布するようになる。タイヤ2 の面内、外応答を観察する。表-1, 2 は、左右脚ともほとんど同じ大きさの応答を示しており、図-3 も、面内応答に比べて、立体的性質を示していない。一方、タイヤ2 は、全体として平面の構造を形成している。一方、タイヤ3 では、図-3 に示すように、3 基のラーメンの面内、面外運動が互いに影響しあう複雑な立体運動を示している。表-1, 2 から、左右応答の差は、面内 2.6 秒と面外 4.0 秒程度である。これらの結果は、より詳しい考察や地震応答、特に部材の結合条件の違いや、ラーメン配置の違いなどによる。大きく異なるものであるから、直接土構造における場合、大きなことは、Z 方向に、また、平面構造と、実際には連結して場合でも、応答は表-1, 2 で示すとおり大きく変化するものである。設計時に重心を立体効果を考慮して解析すれば、確かに示すべきだと思われる。以上

Z 軸まわり曲げモード応答  $M_Z$  (B ラーメン面内曲げモード) (ペクトル図)

応答値	X 方向 $SV(100gal)$ $f_{xz}$ $t/m$	Z 方向 $SV(100gal)$ $f_{xz}$ $t/m$	往復方向から地震を受ける場合の 最大応答 $t/m$ そのときの地震方向
タイヤ1 左脚	248.600	0.0	248.600 $\phi = 90^\circ$
B ラーメン 右脚	248.600	0.0	248.600 $\phi = 90^\circ$
タイヤ2 左脚	253.485	2.675	253.499 $\phi = 89^\circ 23' 44''$
B ラーメン 右脚	253.485	2.695	253.500 $\phi = 89^\circ 23' 27''$
タイヤ3 左脚	242.264	64.989	250.829 $\phi = 74^\circ 59' 04''$
B ラーメン 右脚	255.171	74.347	265.782 $\phi = 73^\circ 45' 9''$

表-1

表-2

X 軸まわり曲げモード応答  $M_X$  (B ラーメン面外曲げモード) (ペクトル図)

応答値	X 方向 $SV(100gal)$ $f_{xz}$ $t/m$	Z 方向 $SV(100gal)$ $f_{xz}$ $t/m$	往復方向から地震を受ける場合の 最大応答 $t/m$ そのときの地震方向
タイヤ1 左脚	0.0	470.505	470.505 $\phi = 0^\circ$
B ラーメン 右脚	0.0	470.505	470.505 $\phi = 0^\circ$
タイヤ2 左脚	49.517	295.353	299.475 $\phi = 9^\circ 31' 12''$
B ラーメン 右脚	49.528	295.348	299.472 $\phi = 9^\circ 34' 08''$
タイヤ3 左脚	37.438	123.046	128.616 $\phi = 16^\circ 59' 30''$
B ラーメン 右脚	125.445	128.624	179.668 $\phi = 44^\circ 08' 24''$

A, B, C	固有周期	B 左脚 面内モード	B 右脚 面外モード
タイヤ1	0.6 $g_{\text{重}}$	9470.1	9470.1
タイヤ2	0.5 $g_{\text{重}}$	0.0	470.505 0.465
タイヤ3	0.4 $g_{\text{重}}$	249.260	0.0 0.270
	0.3		
	0.2		
	0.1		
	0.5	9470.2	9470.2
	0.4	0.000	295.348 0.369
	0.3	252.200	0.002 0.344
	0.2	25.501	0.002 0.162
	0.1	0.000	0.000 0.041
	0.5	9470.3	9470.3
	0.4	253.397	25.598 0.351
	0.3	11.960	126.021 0.255
	0.2	27.566	2.767 0.167
	0.1	0.000	0.000 0.040

表-3 100 200 300  $t/m$

参考文献 1. マックス構造解析入門 R.K.ガレルズ 山田川井整修館  
2. マックス有限要素法 O.C.ソーン・ヴィンツル著